

**Dokument elektroniczny**

Starostwo Powiatowe  
w Bartoszycach  
02.12.2021  
12.886  
Podpis .....

**Miejsce i data sporządzenia dokumentu**

2021-12-01

**Dane nadawcy**

PIOTR MILISZKIEWICZ  
PESEL: 75101905916  
Telefon: +48501031783  
Email: piotr.miliszkievicz@axians.com

**Dane adresata**

STAROSTWO POWIATOWE W BARTOSZYCACH (11-200  
BARTOSZYCE, WOJ. WARMIŃSKO-MAZURSKIE)

**ZAWIADOMIENIE****BT42121 BARTOSZYCE ZACHOD EXT. 4 zgłoszenie instalacji stacji bazowej (SM/1757/11/2021/JF)**

DO: Wydział Rolnictwa i Ochrony Środowiska

**PROWADZĄCY INSTALACJE:**

Towerlink Poland Sp. z o.o. (do 2021-07-12 Polkomtel Infrastruktura Sp. z o.o.), ul. Konstruktorska 4, 02-673 Warszawa  
DOTYCZY: Stacji bazowej telefonii komórkowej BT42121 BARTOSZYCE ZACHOD  
Zlokalizowanej pod adresem: Bartoszyce, ul. ks. Poniatowskiego 8, dz. nr 2/1, obręb 0003, gmina Bartoszyce m, powiat bartoszycki, woj. warmińsko-mazurskie

Działając w imieniu inwestora w trybie art. 152 ust. 6 pkt. 1 ustawy z dnia 27 kwietnia 2001r. Prawo Ochrony Środowiska (tekst jedn.: Dz. U. z 2020 r. poz. 1219) informuję o zmianie danych zawartych w zgłoszeniu instalacji stacji bazowej telefonii komórkowej BT42121 BARTOSZYCE ZACHOD zlokalizowanej pod adresem Bartoszyce, ul. ks. Poniatowskiego 8, dz. nr 2/1, obręb 0003, gmina Bartoszyce m, powiat bartoszycki, woj. warmińsko-mazurskie.

Informuje, przedmiotowa zmiana danych instalacji nie jest zmianą istotną, zgodnie z art. 3 pkt 7 ustawy Prawo Ochrony Środowiska (Dz.U.2020.1219 t.j. z dnia 2020.07.09).

Dodatkowo, nawiązując do zmiany nazwy firmy spółki, chciałbym zwrócić uwagę na to, że zmiana dotyczy wyłącznie firmy spółki, jest to wciąż ten sam podmiot, o tym samym numerze KRS, NIP i REGON. Zmianie nie uległ też adres siedziby spółki. W mocy pozostają wszystkie wcześniej podjęte działania i zaciągnięte zobowiązania, jak również ważność zachowują wcześniej udzielone pełnomocnictwa.

Z poważaniem  
Piotr Miliszkievicz

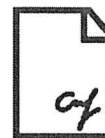
**Adres korespondencyjny:**

Piotr Miliszkievicz  
Axians Networks Poland Sp. z o.o.  
Ul. Rdestowa 51; 81-577 Gdynia  
Tel. 501 031 783  
piotr.miliszkievicz@axians.com

**Osoba do kontaktu:**

Joanna Fiodorowicz  
Axians Networks Poland Sp. z o.o.  
Ul. Rdestowa 51; 81-577 Gdynia  
Tel. 695 550 683  
joanna.fiodorowicz@axians.com





PODPIS ZAUFANY

PIOTR  
MILISZKIEWICZ  
01.12.2021 11:17:49 (GMT+1)Dokument podpisany elektronicznie  
podpisem zaufanym

## FORMULARZ ZMIANY DANYCH W ZGŁOSZENIU INSTALACJI WYTWARZAJĄCYCH POLA ELEKTROMI

## I. Wypełnia podmiot prowadzący instalację dokonujący jej zgłoszenia

1. Nazwa i adres organu ochrony środowiska właściwego do przyjęcia zgłoszenia  
*Starostwo Powiatowe w Bartoszycach  
Wydział Rolnictwa i Ochrony Środowiska  
ul. Grota Roweckiego 1  
11-200 Bartoszyce*
2. Nazwa instalacji zgodna z nazewnictwem stosowanym przez prowadzącego instalację  
*stacja bazowa BT42121 BARTOSZYCE ZACHOD (ext. 4)*
3. Określenie nazw jednostek terytorialnych (gmin, powiatów i województw), na których terenie znajduje się instalacja, wraz z podaniem symboli KTS<sup>1)</sup> jednostek terytorialnych, na których terenie znajduje się instalacja  
*KTS1 1004000000000 PÓŁNOCNY  
KTS2 1004280000000 Warmińsko-mazurskie  
KTS3 1004281000000 Warmińsko-mazurskie  
KTS4 1004281560000 Olsztyński  
KTS5 10042815601000 bartoszycki  
KTS6 10042815601011 Bartoszyce*
4. Oznaczenie prowadzącego instalację, jego adres zamieszkania lub siedziby  
*Prowadzący instalację: Towerlink Poland Sp. z o.o., ul. Konstruktorska 4, 02-673 Warszawa;*
5. Adres zakładu, na którego terenie prowadzona jest eksploatacja instalacji  
*Bartoszyce, ul. ks. Poniałowskiego 8, dz. nr 2/1, obręb 0003 gmina Bartoszyce m; powiat bartoszycki; województwo warmińsko-mazurskie*
6. Rodzaj instalacji, zgodnie z załącznikiem nr 2 do rozporządzenia Ministra Środowiska z dnia 2 lipca 2010 r. w sprawie zgłoszenia instalacji wytwarzających pola elektromagnetyczne (Dz. U. Nr 130, poz. 879)  
*instalacje radiokomunikacyjne, których równoważna moc promieniowania izotropowo wynosi nie mniej niż 15W, emitujące pola elektromagnetyczne o częstotliwościach od 30 kHz do 300 GHz*
7. Rodzaj i zakres prowadzonej działalności, w tym wielkość produkcji lub wielkość świadczonych usług  
*działalność w zakresie telekomunikacji przewodowej i bezprzewodowej.*
8. Czas funkcjonowania instalacji (dni tygodnia i godziny)  
*7 dni w tygodniu, 24 godziny na dobę*
9. Wielkość i rodzaj emisji<sup>2)</sup>  
*sumaryczna moc EIRP anten sektorowych 75282 W  
sumaryczna moc EIRP anten radioliniowych 891 W*
10. Opis stosowanych metod ograniczania emisji  
*Parametry stacji bazowej zostały tak dobrane, aby ponadnormatywny poziom pola elektromagnetycznego nie występował w miejscach dostępnych dla ludności.*
11. Informacja, czy stopień ograniczania wielkości emisji jest zgodny z obowiązującymi przepisami  
*W miejscach dostępnych dla ludności poziom pola elektromagnetycznego nie przekracza wartości ponadnormatywnych.*
12. Szczegółowe dane, odpowiednio do rodzaju instalacji, zgodnie z wymaganiami określonymi w załączniku nr 2 do rozporządzenia:

| 1) współrzędne geograficzne anten | 2) częstotliwość pracy | 3) wysokości środków elektrycznych anten nad poziomem terenu | 4) EIRP - równoważna moc promieniowana izotropowo | 5) zakresy azymutów i kątów pochylenia osi głównych wiązek promieniowania |
|-----------------------------------|------------------------|--|---|---|
| 54-14-57.80N<br>20-48-08.23E      | 1800 Mhz<br>900 Mhz    | 25,00 m  | 3920 W<br>4741 W                                  | Azymut 83°<br>Pochylenie 2°-5,5°  |
| 54-14-57.80N<br>20-48-08.23E      | 1800 Mhz<br>900 Mhz    | 25,00 m  | 3920 W<br>4741 W                                  | Azymut 188°<br>Pochylenie 2°-4,5°   |
| 54-14-57.80N<br>20-48-08.23E      | 1800 Mhz<br>900 Mhz    | 25,00 m  | 3920 W<br>4741 W                                  | Azymut 342°<br>Pochylenie 2°-5,5°   |
| 54-14-57.80N<br>20-48-08.23E      | 2600 Mhz               | 25,00 m  | 16433 W   | Azymut 83°<br>Pochylenie 2°-4,3°  |
| 54-14-57.80N<br>20-48-08.23E      | 2600 Mhz               | 25,00 m  | 16433 W   | Azymut 188°<br>Pochylenie 2°-2,8°   |
| 54-14-57.80N<br>20-48-08.23E      | 2600 Mhz               | 25,00 m  | 16433 W   | Azymut 342°<br>Pochylenie 2°-3,8°   |
| 54-14-57.80N<br>20-48-08.23E      | 80 GHz                 | 23,20 m  | 891,25 W  | Azymut 3°   |

6) Na podstawie wykonanej analizy stwierdza się, że w odległościach od anten sektorowych, określonych zgodnie z Rozporządzeniem Rady Ministrów z dnia 10 września 2019 r. w sprawie przedsięwzięć mogących znacząco oddziaływać na środowisko (Dz.U z 2019 r. poz. 1839), wzdłuż osi głównych wiązek promieniowania tych anten, nie występują miejsca dostępne dla ludności

|   |                  |
|---|------------------|
| <b>7) Sprawozdanie z pomiarów poziomów pól elektromagnetycznych – załącznik nr 2</b>                            |                  |
| 13. Miejscowość, data (rok - miesiąc - dzień):<br>Imię i nazwisko osoby reprezentującej prowadzącego instalację |                  |
|   |                  |
| Podpis  |                  |
| PIOTR MILISZKIEWICZ – podpis zaufany <span style="float: right;"><i>Gdynia, 30.11.2021 r.</i></span>            |                  |
| <b>II. Wypełnia organ ochrony środowiska przyjmujący zgłoszenie</b>   |                  |
| Data zarejestrowania zgłoszenia   | Numer zgłoszenia |
| .....   | .....            |

Objaśnienia:

- 1) System Kodowania Jednostek Terytorialnych i Statystycznych (KTS) wprowadzony Zarządzeniem wewnętrznym nr 22 Prezesa Głównego Urzędu Statystycznego z dnia 24 sierpnia 2017 r. w sprawie wprowadzenia Systemu Kodowania Jednostek Terytorialnych i Statystycznych
- 2) W przypadku stacji elektroenergetycznych i napowietrznych linii elektroenergetycznych - napięcie znamionowe, a w przypadku pozostałych instalacji - równoważne moce promieniowane izotropowo (EIRP) poszczególnych anten.
- 3) Liczba porządkowa zgodna z numeracją punktów w odpowiednich do rodzaju instalacji ustępach załącznika nr 2 do rozporządzenia.



Laboratorium EMVO Sp. J. Urbański, Pawelak

ul. Jasna 1  
00-013 Warszawa

tel. +48 22 780 29 64  
e-mail: laboratorium@emvo.pl



AB 1630

## Sprawozdanie z pomiarów pól elektromagnetycznych - środowisko ogólne nr 06/11/OŚ/2021-ELT



|                   |   |                          |
|-------------------|---|--------------------------|
| Nr i nazwa stacji | BT42121 BARTOSZYCE_ZACHOD   |                          |
| Adres             | 11-200 Bartoszyce, ul. ks. Poniatowskiego 8, dz. nr 2/1,<br>gm. Bartoszyce, powiat bartoszycki, woj. warmińsko-mazurskie        |                          |
| Opracowanie       | Wiesław Laskowski   | Specjalista ds. pomiarów |
| Autoryzacja       | Andrzej Urbański  | Kierownik Laboratorium   |
| Podpis            | Podpis jest prawidłowy<br>Dokument podpisany przez Andrzej Urbański<br>Data: 2021.11.29 13:09:31<br>Powód: Zatwierdzam dokument |                          |
| Data              | 2021-11-17  |                          |

## Spis treści

|   |   |
|---|---|
| 1. Informacje ogólne. ....  | 3 |
| 2. Podstawa prawna. ....  | 3 |
| 3. Opis pomiarów ....   | 3 |
| 4. Zróżnicowanie dopuszczalne poziomy pól elektromagnetycznych..... | 5 |
| 5. Charakterystyka źródeł PEM.....                                  | 5 |
| 6. Wyniki pomiarów. ....  | 5 |
| 7. Stwierdzenie zgodności.....                                      | 7 |
| 8. Oświadczenie.....  | 8 |
| 9. Spis załączników. ....   | 8 |

## 1. Informacje ogólne.

|   |  |
|---|--|
| Zleceniodawca   | Axians Networks Poland Sp. z o.o., ul. Annopol 4A, 03-236 Warszawa<br>osoba udzielająca informacji – Piotr Miliszkievicz |
| Istotne informacje dostarczone przez klienta                            | komplet informacji niezbędnych do wykonania pomiarów i opracowania sprawozdania  |
| Dane otrzymane od klienta mogące mieć wpływ na ważność wyników          | dane anten sektorowych, dane anten radioliniowych, parametry pracy instalacji, poprawka pomiarowa                        |
| Prowadzący instalację   | TOWERLINK POLAND SP. z o.o., ul. Konstruktorska 4, 02-673 Warszawa   |
| Lokalizacja obiektu   | 11-200 Bartoszyce, ul. ks. Poniatowskiego 8, dz. nr 2/1, gm. Bartoszyce, powiat bartoszycki, woj. warmińsko-mazurskie    |
| Miejsce instalacji anten  | dach budynku   |
| Miejsce instalacji urządzeń   | outdoor  |
| Osoby wykonujące pomiar   | Dawid Tarantowicz - pomiarowiec  |
| Data wykonania pomiaru  | 2021-11-17   |
| Godzina rozpoczęcia pomiaru   | 15.10  |
| Godzina zakończenia pomiaru   | 17.05  |
| Temperatura na początku pomiaru [°C]                                    | 6  |
| Temperatura na koniec pomiaru [°C]                                      | 6  |
| Warunki atmosferyczne   | brak opadów  |
| Wilgotność na początku pomiaru [%]                                      | 75   |
| Wilgotność na koniec pomiaru [%]  | 75   |
| Inne źródła pól elektromagnetycznych oznaczone na załączniku graficznym | nie występują  |
| Tryb pracy urządzeń   | eksploatacyjny   |

## 2. Podstawa prawna.

### 2.1 Normy i rozporządzenia:

- Rozporządzeniem Ministra Klimatu z dnia 17 lutego 2020 r. w sprawie sposobów sprawdzania dotrzymania dopuszczalnych poziomów pól elektromagnetycznych w środowisku (Dz.U. 2020 poz. 258)
- Rozporządzenie Ministra Zdrowia z dnia 17 grudnia 2019 r. w sprawie dopuszczalnych poziomów pól elektromagnetycznych w środowisku (Dz.U. 2019 poz. 2448)
- Obwieszczenie Marszałka Sejmu Rzeczypospolitej Polskiej z dnia 19 lipca 2019 r. w sprawie ogłoszenia jednolitego tekstu ustawy - Prawo ochrony środowiska (Dz.U. 2019 poz. 1396).

## 3. Opis pomiarów

|                       |   |
|-----------------------|---|
| Metodologia pomiarowa | Pomiary w oparciu o Rozporządzeniem Ministra Klimatu z dnia 17 lutego 2020 r. w sprawie sposobów sprawdzania dotrzymania dopuszczalnych poziomów pól elektromagnetycznych w środowisku (Dz.U. 2020 poz. 258), Dokument PCA DAB-18 „Program akredytacji laboratoriów badawczych wykonujących pomiary pola elektromagnetycznego w środowisku” wyd. 1, Warszawa, 02.02.2017 r. |
|-----------------------|---|

„Bez pisemnej zgody Laboratorium niniejsze sprawozdanie nie może być powielane inaczej, jak tylko w całości. Ponadto wyniki dotyczą tylko badanych obiektów przywołanych w niniejszym sprawozdaniu z badań”



|   |  |
|---|--|
| Cel badań                                       | Określenie wartości natężenia pola elektrycznego w miejscach dostępnych dla ludności.  |
| Opis zestawu pomiarowego                        | Miernik Narda NBM 550, Sonda EF9091, o zakresie pomiarowym 0,8 V/m - 300V/m pracująca w paśmie 0,1 – 90 GHz, świadectwo wydane przez Laboratorium Wzorców i Metrologii Pola Elektromagnetycznego, Instytut Telekomunikacji, Teleinformatyki i Akustyki Politechniki Wrocławskiej. Świadectwo ważne do 27.03.2022r.<br>Miernik Narda NBM 550, Sonda EF9091 pracująca w zakresie temperatury -10°C - +50°C oraz wilgotności 5% - 95%.<br>Niepewność rozszerzona 59% przy poziomie ufności 95% z uwzględnieniem współczynnika rozszerzenia k=2.   |
| Wyposażenie pomocnicze                          | Termohigrometr Bestone, typ: GM1362-EN-00, nr identyfikacyjny 1222436, świadectwo wzorcowania z dn. 03.04.2017 r. wydane przez Laboratorium Pomiarowe "MUTECH". Przymiar wstępowy STABILA, nr identyfikacyjny 5/WL/2016, świadectwo wzorcowania z dn. 06.09.2016 r. wydane przez Zespół Laboratoriów wzorcujących Okręgowego Urzędu Miar w Gdańsku.<br>Dalmierz laserowy BOSH GLM 40, Świadectwo wzorcowania L4-L41.4180.141.2018.3061.1 z dnia 12 września 2018 wydane przez Pracownia Długości Samodzielnego Laboratorium Długości w Głównym Urzędzie Miar.<br>GPS Garmin 64s okresowo sprawdzany w punktach osnowy geodezyjnej klasy 3 na podstawie licencji punktu, zgodnie z procedurą sprawdzeń okresowych IS/PO-16-11/03.   |
| Pomiary zostały wykonane                        | <ol style="list-style-type: none"> <li>na głównych i pomocniczych kierunkach pomiarowych, na kierunkach zbliżonych do azymutów anten oraz w dodatkowych pionach pomiarowych zgodnie z wymaganiami pkt 12, 13, 14 i 19 załącznika do rozporządzenia Ministra Klimatu z dnia 17 lutego 2020 r. (Dz. U. 2020, poz. 258),</li> <li>na obszarze pomiarowym, dla którego, na podstawie uprzednio wykonanych obliczeń uzyskanych od zleceniodawcy, stwierdzono możliwość występowania pól elektromagnetycznych o poziomach zbliżonych do poziomów dopuszczalnych zgodnie z wymaganiami pkt 5 ppkt 2 oraz pkt 13 ppkt 1 załącznika do rozporządzenia Ministra Klimatu z dnia 17 lutego 2020 r. (Dz. U. 2020, poz. 258). Wyniki obliczeń nie uwzględniały parametrów pracy instalacji innych operatorów występujących na obiekcie bądź w obszarze pomiarowym.</li> <li>w miejscach dostępnych dla ludności.</li> <li>miejsca niedostępne podczas wykonywania pomiarów wskazane zostały w pkt 6 (tabeli wyniki pomiarów)</li> <li>wyniki pomiarów uzyskane zostały przy uwzględnieniu poprawek pomiarowych przekazanych przez zleceniodawcę oraz przy rzeczywistych warunkach pracy instalacji innych operatorów (w przypadku występowania). W takiej sytuacji uwzględniono jednolitą poprawkę pomiarową wynoszącą 1,7.</li> </ol> |
| Szczególne warunki podczas wykonywania pomiarów | Pomiary wykonane zostały podczas obowiązywania w kraju stanu epidemii, zgodnie z art. 122a ust. 1b Ustawy z dnia 27 kwietnia 2001 r. – Prawo ochrony środowiska (Dz. U. z 2019 r. poz. 1396, z późn. zm.9))  |
| Warunki pracy urzędzeń nadawczych               | Podczas pomiarów zostały uwzględnione poprawki pomiarowe przekazane przez zleceniodawcę, umożliwiające uwzględnienie maksymalnych parametrów pracy instalacji zgodnie z pkt 7 załącznika do Rozporządzeniem Ministra Klimatu z dnia 17 lutego 2020 r. w sprawie sposobów sprawdzania dotrzymania dopuszczalnych poziomów pól elektromagnetycznych w środowisku (Dz. U. 2020, poz. 258).  |



#### 4. Zróżnicowanie dopuszczalne poziomy pól elektromagnetycznych.

Zakresy znajdują się w Dzienniku Ustaw z dnia 17 grudnia 2019 r. przedstawione są w tabeli nr 2 (Dz. U. z 2019 r. poz. 2448).

| Zakres częstotliwości pola elektromagnetycznego | Parametr fizyczny            |                              |                                    |
|---|------------------------------|------------------------------|------------------------------------|
|   | Składowa elektryczna E (V/m) | Składowa magnetyczna H (A/m) | Gęstość mocy S (W/m <sup>2</sup> ) |
| od 400 MHz do 2000 MHz                          | $1,375 \times f^{0,5}$       | $0,0037 \times f^{0,5}$      | f / 200                            |
| od 2 GHz do 300 GHz                             | 61                           | 0,16                         | 10                                 |

#### 5. Charakterystyka źródeł PEM.

Zgodnie z informacją otrzymaną od klienta pomiary zostały wykonane przy ustawieniach pochylenia anten zgodnych z pkt. 13, ppkt 2 załącznika do rozporządzenia Ministra Klimatu z dnia 17 lutego 2020 roku.

Tabela 1. Anteny sektorowe - dane otrzymane od klienta

| Typ anteny | Współrzędne geograficzne       | Azymut mechaniczny [°] | Azymut elektryczny [°] | Wysokość zawieszenia anten (środek anteny) n.p.t. [m] | Pasmo częstotliwości [MHz] | Zakres pochylenia elektrycznego [°] | Średnie pochylenie anten (ustawione do pomiarów PEM) [°] | Zakres pochylenia mechanicznego [°] | Moc EIRP [W] | Suma EIRP [W] |
|------------|--------------------------------|------------------------|------------------------|---|----------------------------|-------------------------------------|--|-------------------------------------|--------------|---------------|
| 120345     | 54°14'57.80"N<br>20°48'08.23"E | 83                     | 83                     | 25,00   | 1800                       | 2,0 - 5,5                           | 3,2  | 0,0                                 | 3920         | 8661          |
|            |                                |                        |                        |   | 900                        | 2,0 - 5,5                           | 3,2  |                                     | 4741         |               |
| 120345     | 54°14'57.80"N<br>20°48'08.23"E | 188                    | 188                    | 25,00   | 1800                       | 2,0 - 4,5                           | 2,4  | 0,0                                 | 3920         | 8661          |
|            |                                |                        |                        |   | 900                        | 2,0 - 4,5                           | 2,4  |                                     | 4741         |               |
| 120345     | 54°14'57.80"N<br>20°48'08.23"E | 342                    | 342                    | 25,00   | 1800                       | 2,0 - 5,5                           | 2,9  | 0,0                                 | 3920         | 8661          |
|            |                                |                        |                        |   | 900                        | 2,0 - 5,5                           | 2,9  |                                     | 4741         |               |
| 120115     | 54°14'57.80"N<br>20°48'08.23"E | 83                     | 83                     | 25,00   | 2600                       | 2,0 - 4,3                           | 3,2  | 0,0                                 | 16433        | 16433         |
| 120115     | 54°14'57.80"N<br>20°48'08.23"E | 188                    | 188                    | 25,00   | 2600                       | 2,0 - 2,8                           | 2,4  | 0,0                                 | 16433        | 16433         |
| 120115     | 54°14'57.80"N<br>20°48'08.23"E | 342                    | 342                    | 25,00   | 2600                       | 2,0 - 3,8                           | 2,9  | 0,0                                 | 16433        | 16433         |

Tabela 2. Anteny radioliniowe - dane otrzymane od klienta

| Typ anteny       | Współrzędne geograficzne       | Azymut [°] | Średnica [m] | Pasmo częstotliwości [GHz] | Zysk energetyczny [dBi] | Moc wyjściowa nadajnika [dBm] | EIRP [W] | Wysokość zawieszenia (środek elektryczny anteny) n.p.t. [m] |
|------------------|--------------------------------|------------|--------------|----------------------------|-------------------------|-------------------------------|----------|---|
| ANT2 A 0.3 80 HP | 54°14'57.80"N<br>20°48'08.23"E | 3          | 0,3          | 80                         | 46,5                    | 13                            | 891,3    | 23,2  |

#### 6. Wyniki pomiarów.

Wyniki pomiarów pól elektromagnetycznych dla celów ochrony środowiska przedstawia poniższa tabela. Piony pomiarowe zostały przedstawione w zał. 2.

| Nr PP | Pole-E [V/m] | Pole-E *k <sub>E</sub> +U [V/m] | Pole-H [A/m] | Pole-H *k <sub>E</sub> +U [A/m] | Wysokość pomiaru [m] | Współrzędne PP x, y             | Opis PP  | WM <sub>E</sub> | WM <sub>H</sub> |
|-------|--------------|---------------------------------|--------------|---------------------------------|----------------------|---------------------------------|--|-----------------|-----------------|
| 1     | 0,7*         | 2,16                            | 0,002        | 0,006                           | 0,3 - 2,0            | 54°14'59,34" N<br>20°48'7,35" E | otoczenie stacji bazowej - 50 m wzdłuż gł. osi promieniowania - GKP  | 0,079           | 0,079           |
| 2     | 0,7*         | 2,16                            | 0,002        | 0,006                           | 0,3 - 2,0            | 54°15'0,88" N<br>20°48'6,49" E  | otoczenie stacji bazowej - 100 m wzdłuż gł. osi promieniowania - GKP | 0,079           | 0,079           |
| 3     | 0,7*         | 2,16                            | 0,002        | 0,006                           | 0,3 - 2,0            | 54°15'2,41" N<br>20°48'5,64" E  | otoczenie stacji bazowej - 150 m wzdłuż gł. osi promieniowania - GKP | 0,079           | 0,079           |
| 4     | 0,7*         | 2,16                            | 0,002        | 0,006                           | 0,3 - 2,0            | 54°15'3,95" N<br>20°48'4,79" E  | otoczenie stacji bazowej - 200 m wzdłuż gł. osi promieniowania - GKP | 0,079           | 0,079           |
| 5     | 0,7*         | 2,16                            | 0,002        | 0,006                           | 0,3 - 2,0            | 54°15'5,49" N<br>20°48'3,93" E  | otoczenie stacji bazowej - 250 m wzdłuż gł. osi promieniowania - GKP | 0,079           | 0,079           |

„Bez pisemnej zgody Laboratorium niniejsze sprawozdanie nie może być powielane inaczej, jak tylko w całości. Ponadto wyniki dotyczą tylko badanych obiektów przywołanych w niniejszym sprawozdaniu z badań”

| Nr PP | Pole-E [V/m] | Pole-E *k <sub>E</sub> +U [V/m] | Pole-H [A/m] | Pole-H * k <sub>E</sub> +U [A/m] | Wysokość pomiaru [m] | Współrzędne PP x, y              | Opis PP  | WM <sub>E</sub> | WM <sub>H</sub> |
|-------|--------------|---------------------------------|--------------|----------------------------------|----------------------|----------------------------------|--|-----------------|-----------------|
| 6     | 0,7*         | 2,16                            | 0,002        | 0,006                            | 0,3 - 2,0            | 54°14'58,00" N<br>20°48'10,94" E | otoczenie stacji bazowej - 50 m wzdłuż gł. osi promieniowania - GKP  | 0,079           | 0,079           |
| 7     | 0,7*         | 2,16                            | 0,002        | 0,006                            | 0,3 - 2,0            | 54°14'58,19" N<br>20°48'13,68" E | otoczenie stacji bazowej - 100 m wzdłuż gł. osi promieniowania - GKP | 0,079           | 0,079           |
| 8     | 0,7*         | 2,16                            | 0,002        | 0,006                            | 0,3 - 2,0            | 54°15'00,7"N<br>20°48'09,7"E     | otoczenie stacji bazowej - PKP                                       | 0,079           | 0,079           |
| 9     | 0,9          | 2,43                            | 0,002        | 0,006                            | 0,3 - 2,0            | 54°14'55,9"N<br>20°48'12,4"E     | otoczenie stacji bazowej - PKP                                       | 0,088           | 0,088           |
| 10    | 0,7*         | 2,16                            | 0,002        | 0,006                            | 0,3 - 2,0            | 54°14'58,0"N<br>20°48'03,0"E     | otoczenie stacji bazowej - PKP                                       | 0,079           | 0,079           |
| A     | 1,1          | 2,97                            | 0,003        | 0,008                            | 0,3 - 2,0            | 54°14'57,9"N<br>20°48'10,2"E     | ul. Poniatowskiego 7, pomiar przy budynku - DPP                      | 0,108           | 0,108           |
| B     | 0,7*         | 2,16                            | 0,002        | 0,006                            | 0,3 - 2,0            | 54°14'57,6"N<br>20°48'12,6"E     | ul. Poniatowskiego 6, pomiar przy budynku - DPP                      | 0,079           | 0,079           |
| C     | 0,7*         | 2,16                            | 0,002        | 0,006                            | 0,3 - 2,0            | 54°14'56,0"N<br>20°48'08,7"E     | ul. Słowackiego 12, pomiar przy furtce - DPP                         | 0,079           | 0,079           |
| D     | 0,7*         | 2,16                            | 0,002        | 0,006                            | 0,3 - 2,0            | 54°14'55,6"N<br>20°48'08,5"E     | ul. Słowackiego 10, pomiar przy furtce - DPP                         | 0,079           | 0,079           |
| E     | 1,0          | 2,70                            | 0,003        | 0,007                            | 0,3 - 2,0            | 54°14'55,7"N<br>20°48'08,2"E     | ul. Słowackiego 14, pomiar przy furtce - DPP                         | 0,098           | 0,098           |
| F     | 0,7*         | 2,16                            | 0,002        | 0,006                            | 0,3 - 2,0            | 54°14'55,4"N<br>20°48'07,0"E     | ul. Słowackiego 16/1, pomiar przy budynku - DPP                      | 0,079           | 0,079           |
| G     | 0,7*         | 2,16                            | 0,002        | 0,006                            | 0,3 - 2,0            | 54°14'55,0"N<br>20°48'08,0"E     | ul. Słowackiego 16, pomiar przy furtce - DPP                         | 0,079           | 0,079           |
| H     | 0,7*         | 2,16                            | 0,002        | 0,006                            | 0,3 - 2,0            | 54°14'54,9"N<br>20°48'08,7"E     | ul. Słowackiego 8, pomiar przy budynku - DPP                         | 0,079           | 0,079           |
| I     | 1,2          | 3,24                            | 0,003        | 0,009                            | 0,3 - 2,0            | 54°14'54,4"N<br>20°48'07,4"E     | ul. Słowackiego 18, pomiar przy budynku - DPP                        | 0,118           | 0,118           |
| J     | 1,1          | 2,97                            | 0,003        | 0,008                            | 0,3 - 2,0            | 54°14'52,8"N<br>20°48'06,5"E     | ul. Struga 2, pomiar przy budynku - DPP                              | 0,108           | 0,108           |
| K     | 1,0          | 2,70                            | 0,003        | 0,007                            | 0,3 - 2,0            | 54°14'53,3"N<br>20°48'07,3"E     | ul. Struga 1, pomiar przy budynku - DPP                              | 0,098           | 0,098           |
| L     | 1,2          | 3,24                            | 0,003        | 0,009                            | 0,3 - 2,0            | 54°14'51,6"N<br>20°48'05,7"E     | ul. Struga 25, pomiar przy budynku - DPP                             | 0,118           | 0,118           |
| M     | 1,0          | 2,70                            | 0,003        | 0,007                            | 0,3 - 2,0            | 54°14'52,0"N<br>20°48'06,8"E     | ul. Struga 26, pomiar przy budynku - DPP                             | 0,098           | 0,098           |
| N     | 0,9          | 2,43                            | 0,002        | 0,006                            | 0,3 - 2,0            | 54°14'50,7"N<br>20°48'07,0"E     | ul. Mickiewicza 19, pomiar przy budynku - DPP                        | 0,088           | 0,088           |
| O     | 0,8          | 2,16                            | 0,002        | 0,006                            | 0,3 - 2,0            | 54°14'56,6"N<br>20°48'06,2"E     | ul. Poniatowskiego 8a, pomiar przy budynku - DPP                     | 0,079           | 0,079           |
| P     | 0,7*         | 2,16                            | 0,002        | 0,006                            | 0,3 - 2,0            | 54°14'56,9"N<br>20°48'05,3"E     | garaże, pomiar przy budynku - DPP                                    | 0,079           | 0,079           |
| R     | 0,7*         | 2,16                            | 0,002        | 0,006                            | 0,3 - 2,0            | 54°14'57,0"N<br>20°48'04,3"E     | garaże, pomiar przy budynku - DPP                                    | 0,079           | 0,079           |
| S     | 0,7*         | 2,16                            | 0,002        | 0,006                            | 0,3 - 2,0            | 54°14'57,2"N<br>20°48'05,6"E     | garaże, pomiar przy budynku - DPP                                    | 0,079           | 0,079           |
| T     | 0,7*         | 2,16                            | 0,002        | 0,006                            | 0,3 - 2,0            | 54°14'57,8"N<br>20°48'05,4"E     | garaże, pomiar przy budynku - DPP                                    | 0,079           | 0,079           |
| U     | 0,7*         | 2,16                            | 0,002        | 0,006                            | 0,3 - 2,0            | 54°14'58,4"N<br>20°48'05,5"E     | ul. Poniatowskiego 9, pomiar przy budynku - DPP                      | 0,079           | 0,079           |
| V     | 0,7*         | 2,16                            | 0,002        | 0,006                            | 0,3 - 2,0            | 54°14'58,6"N<br>20°48'04,2"E     | ul. Poniatowskiego 10, pomiar przy budynku - DPP                     | 0,079           | 0,079           |
| W     | 0,7*         | 2,16                            | 0,002        | 0,006                            | 0,3 - 2,0            | 54°14'59,6"N<br>20°48'05,6"E     | ul. Poniatowskiego 15, pomiar przy budynku - DPP                     | 0,079           | 0,079           |
| X     | 0,7*         | 2,16                            | 0,002        | 0,006                            | 0,3 - 2,0            | 54°15'00,1"N<br>20°48'08,1"E     | ul. Dąbrowskiego 16, pomiar przy budynku - DPP                       | 0,079           | 0,079           |

„Bez pisemnej zgody Laboratorium niniejsze sprawozdanie nie może być powielane inaczej, jak tylko w całości. Ponadto wyniki dotyczą tylko badanych obiektów przywołanych w niniejszym sprawozdaniu z badań”  
06/11/OŚ/2021-ELT

| Nr PP | Pole-E [V/m] | Pole-E *k <sub>E</sub> +U [V/m] | Pole-H [A/m] | Pole-H * k <sub>E</sub> +U [A/m] | Wysokość pomiaru [m] | Współrzędne PP x, y             | Opis PP  | WM <sub>E</sub> | WM <sub>H</sub> |
|-------|--------------|---------------------------------|--------------|----------------------------------|----------------------|---------------------------------|--|-----------------|-----------------|
| Y     | 0,7*         | 2,16                            | 0,002        | 0,006                            | 0,3 - 2,0            | 54°15'02,5"N<br>20°48'04,8"E    | ul. Paderewskiego 43, pomiar przy budynku - DPP                      | 0,079           | 0,079           |
| Z     | 0,7*         | 2,16                            | 0,002        | 0,006                            | 0,3 - 2,0            | 54°15'04,3"N<br>20°48'04,5"E    | ul. Paderewskiego 41, pomiar przy budynku - DPP                      | 0,079           | 0,079           |
| a     | 0,7*         | 2,16                            | 0,002        | 0,006                            | 0,3 - 2,0            | 54°15'00,0"N<br>20°48'10,1"E    | ul. Poniatowskiego 17, pomiar przy budynku - DPP                     | 0,079           | 0,079           |
| b     | 0,7*         | 2,16                            | 0,002        | 0,006                            | 0,3 - 2,0            | 54°14'59,1"N<br>20°48'11,1"E    | ul. Poniatowskiego 18a, pomiar przy budynku - DPP                    | 0,079           | 0,079           |
| c     | 0,7*         | 2,16                            | 0,002        | 0,006                            | 0,3 - 2,0            | 54°14'58,6"N<br>20°48'15,3"E    | ul. Poniatowskiego 26, pomiar przy budynku - DPP                     | 0,079           | 0,079           |
| d     | 1,7          | 4,60                            | 0,005        | 0,012                            | 0,3 - 2,0            | 54°14'58,4"N<br>20°48'17,1"E    | ul. Poniatowskiego 25, pomiar przy budynku - DPP                     | 0,167           | 0,167           |
| e     | 1,8          | 4,87                            | 0,005        | 0,013                            | 0,3 - 2,0            | 54°14'58,3"N<br>20°48'17,9"E    | ul. Poniatowskiego 24, pomiar przy budynku - DPP                     | 0,177           | 0,177           |
| f     | 1,1          | 2,97                            | 0,003        | 0,008                            | 0,3 - 2,0            | 54°14'58,5"N<br>20°48'16,1"E    | ul. Poniatowskiego 26, pomiar przy budynku - DPP                     | 0,108           | 0,108           |
| g     | 1,6          | 4,32                            | 0,004        | 0,011                            | 0,3 - 2,0            | 54°14'58,2"N<br>20°48'18,9"E    | ul. Poniatowskiego 23, pomiar przy budynku - DPP                     | 0,157           | 0,157           |
| h     | 1,8          | 4,87                            | 0,005        | 0,013                            | 0,3 - 2,0            | 54°14'58,1"N<br>20°48'19,4"E    | ul. Poniatowskiego 22, pomiar przy budynku - DPP                     | 0,177           | 0,177           |
| 1     | 0,7*         | 2,16                            | 0,002        | 0,006                            | 0,3 - 2,0            | 54°14'59,34" N<br>20°48'7,35" E | otoczenie stacji bazowej - 50 m wzdłuż gł. osi promieniowania - GKP  | 0,079           | 0,079           |
| 2     | 0,7*         | 2,16                            | 0,002        | 0,006                            | 0,3 - 2,0            | 54°15'0,88" N<br>20°48'6,49" E  | otoczenie stacji bazowej - 100 m wzdłuż gł. osi promieniowania - GKP | 0,079           | 0,079           |
| 3     | 0,7*         | 2,16                            | 0,002        | 0,006                            | 0,3 - 2,0            | 54°15'2,41" N<br>20°48'5,64" E  | otoczenie stacji bazowej - 150 m wzdłuż gł. osi promieniowania - GKP | 0,079           | 0,079           |
| 4     | 0,7*         | 2,16                            | 0,002        | 0,006                            | 0,3 - 2,0            | 54°15'3,95" N<br>20°48'4,79" E  | otoczenie stacji bazowej - 200 m wzdłuż gł. osi promieniowania - GKP | 0,079           | 0,079           |
| 5     | 0,7*         | 2,16                            | 0,002        | 0,006                            | 0,3 - 2,0            | 54°15'5,49" N<br>20°48'3,93" E  | otoczenie stacji bazowej - 250 m wzdłuż gł. osi promieniowania - GKP | 0,079           | 0,079           |

Wynik pomiaru pole - E [V/m] - maksymalna wartość chwilowa zmierzona w danym pionie pomiarowym (uśredniona na podstawie punktu 11 Załącznika do Rozporządzenia Ministra Zdrowia).

Przyjęto najniższą dopuszczalną wartość składowej elektrycznej pola dla objętego pomiarami zakresu częstotliwości min(MEgr)= 28 V/m oraz składowej magnetycznej min(MHgr)= 0,073 A/m.

\* - wartość zmierzona poniżej zakresu akredytacji. Do obliczeń przyjęto wartość zgodną z progmem czułości zestawu pomiarowego.

GKP - główne kierunki pomiarowe

PKP - pomocnicze kierunki pomiarowe

DPP - dodatkowe punkty pomiarowe

PP - pion pomiarowy

U - niepewność rozszerzona wynosi 59% przy poziomie ufności 95% z uwzględnieniem współczynnika rozszerzenia k=2.

k<sub>E</sub> - poprawka pomiarowa badanej instalacji radiokomunikacyjnej podana przez operatora (k<sub>E</sub>=1,7),

poprawka pomiarowa w przypadku oddziaływania innych instalacji radiokomunikacyjnych na badany obszar (k<sub>E</sub>=2,0)

WM<sub>E</sub> - wartość wskaźnikowa poziomu emisji pól elektromagnetycznych dla miejsc dostępnych dla ludności dla składowej elektrycznej pola

WM<sub>H</sub> - wartość wskaźnikowa poziomu emisji pól elektromagnetycznych dla miejsc dostępnych dla ludności dla składowej magnetycznej pola

## 7. Stwierdzenie zgodności

Na podstawie wytycznych podanych w Rozporządzeniu Ministra Zdrowia z dnia 17 grudnia 2019 r. w sprawie dopuszczalnych poziomów pól elektromagnetycznych w środowisku (Dz.U. 2019 poz. 2448) oraz sposobów sprawdzania dotrzymania tych poziomów zgodnie z Rozporządzeniem Ministra Klimatu z dnia 17 lutego 2020 r. w sprawie sposobów sprawdzania dotrzymania dopuszczalnych poziomów pól elektromagnetycznych w środowisku (Dz.U. 2020 poz. 258) dotyczących źródła wymagań, które muszą być spełnione (załącznik do rozporządzenia Ministra Klimatu z dnia 17 lutego 2020 r. (poz. 258)), w oparciu o zasadę podejmowania decyzji zgodną z pkt 26 załącznika do rozporządzenia Ministra Klimatu z dnia 17 lutego 2020 r. (poz. 258), na podstawie wyników pomiarów pól elektromagnetycznych wykonanych w dniu 17.11.2021 stwierdzono, iż w miejscach dostępnych dla

„Bez pisemnej zgody Laboratorium niniejsze sprawozdanie nie może być powielane inaczej, jak tylko w całości. Ponadto wyniki dotyczą tylko badanych obiektów przywołanych w niniejszym sprawozdaniu z badań”

ludności, dopuszczalne poziomy pól elektromagnetycznych w środowisku, określone w przepisach wydanych na podstawie art. 122 ust. 1 ustawy z dnia 27 kwietnia 2001 r. – Prawo ochrony środowiska, uznaje się za dotrzymane w obszarze pomiarowym, w którym w wyniku zastosowania sposobu sprawdzenia dotrzymania dopuszczalnych poziomów pól elektromagnetycznych w środowisku, udokumentowano, że żadna z wartości wskaźnikowych nie przekracza wartości 1.

## **8. Oświadczenie.**

Wyniki badania odnoszą się wyłącznie do badanego obiektu.

Bez pisemnej zgody sprawozdanie nie może być powielane inaczej, jak tylko w całości.

Uwagi i zastrzeżenia przyjmowane są w formie pisemnej w ciągu 14 dni od daty otrzymania sprawozdania.

## **9. Spis załączników.**

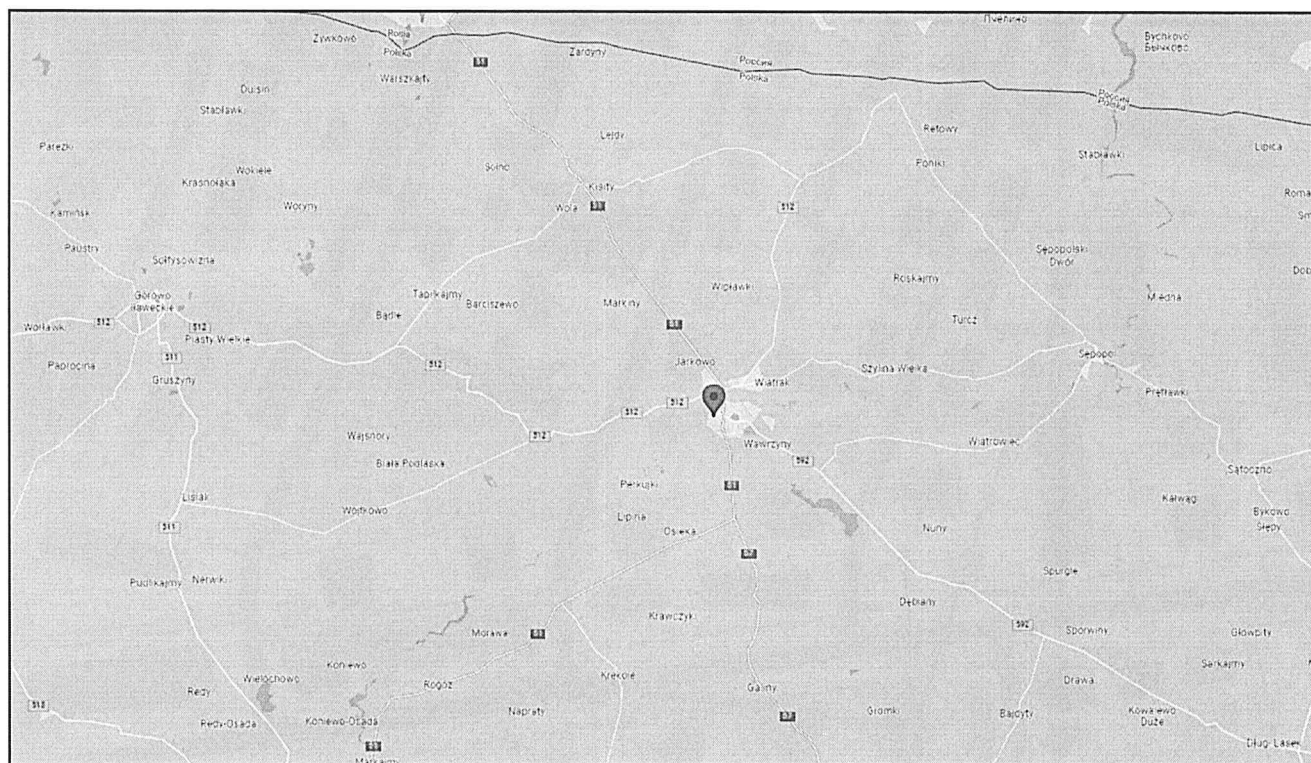
Zał. 1. Lokalizacja obiektu.

Zał. 2. Widok pionów pomiarowych

Zał. 3. Widok stacji bazowej

**Koniec sprawozdania**

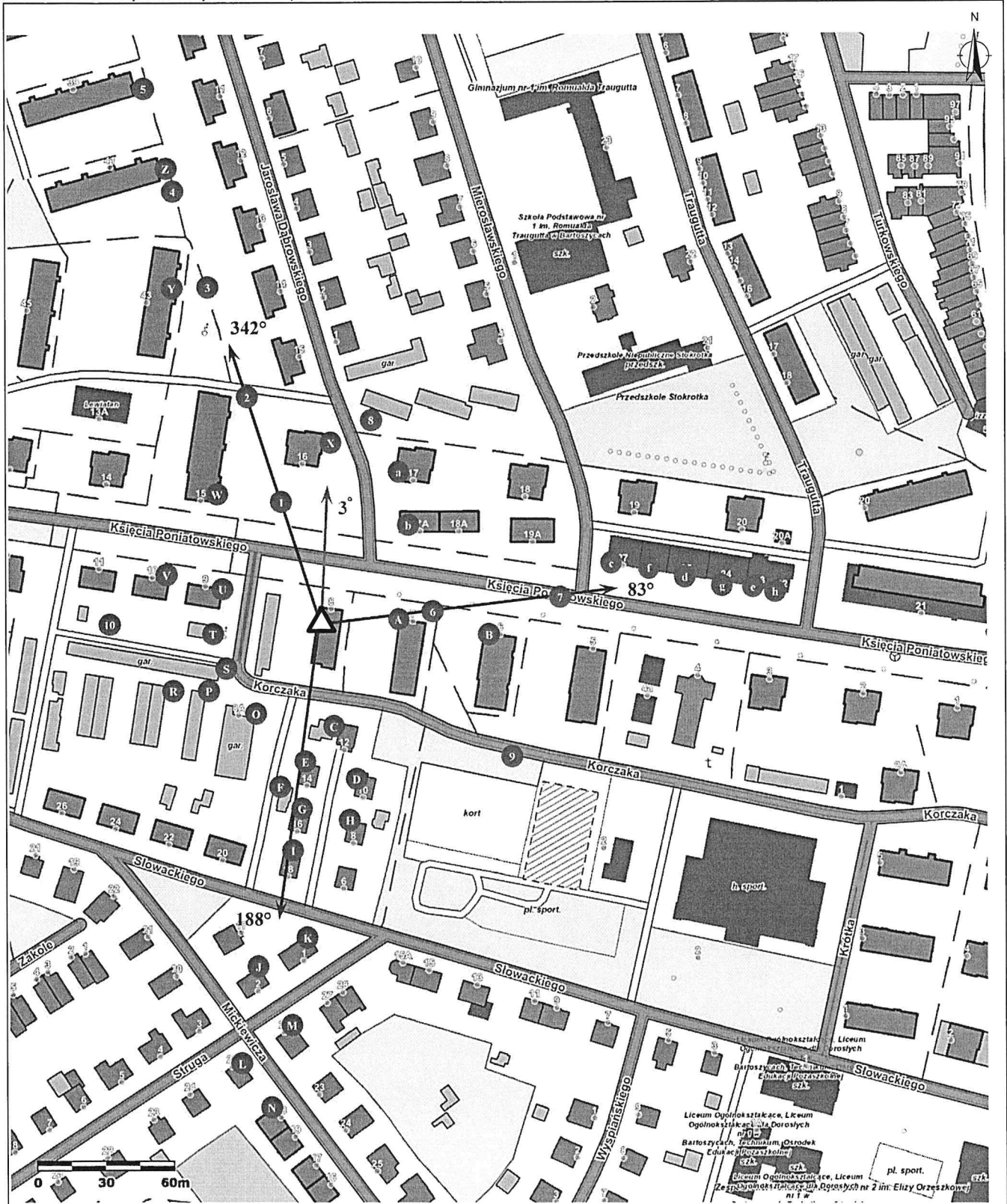
## Załącznik 1. Lokalizacja obiektu







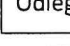
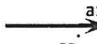
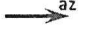
| Współrzędne geograficzne |               |
|--------------------------|---------------|
| długość:                 | 20°48'08.23"E |
| szerokość:               | 54°14'57.80"N |



Zař. 2. Widok pionów pomiarowych



LEGENDA:

-  instalacja radiokomunikacyjna
-  inna instalacja radiokomunikacyjna
-  brak dostępu
-  pion pomiarowy ze współczynnikiem podany przez operatora
-  pion pomiarowy w zasięgu innej instalacji radiokomunikacyjnej ze współczynnikiem 2
- Odległość, do której zostały wykonane pomiary, mierząc od instalacji antenowej, wynosi min. 250 m
-  antena sektorowa
-  antena radioliniowa

Skala 1: 2500

„Bez pisemnej zgody Laboratorium niniejsze sprawozdanie nie może być powielane inaczej, jak tylko w całości. Ponadto wyniki dotyczą tylko badanych obiektów przywołanych w niniejszym sprawozdaniu z badań”  
06/11/OŚ/2021-ELT

### Załącznik 3. Załączniki graficzne

